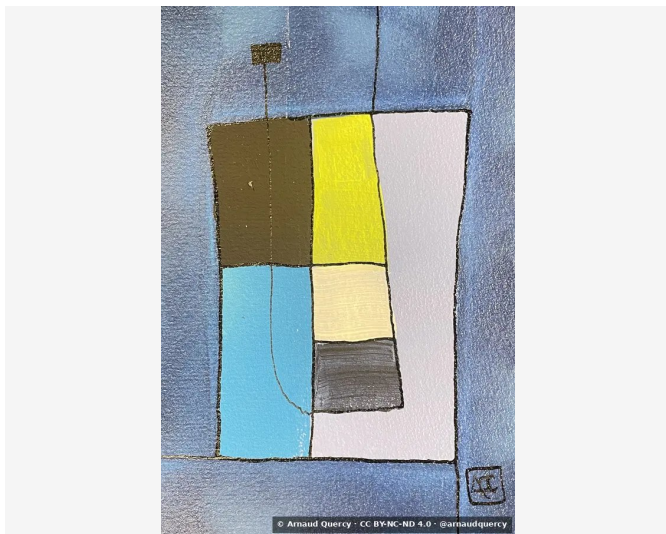


Nanopublication – Analyse Computationnelle d'Image – AQC0885

par Arnaud Quercy · La bémol Mineur - Recherche sur l'Harmonie - Variations 14 · 2025



AFFIRMATION 1: ANALYSE COMPUTATIONNELLE D'IMAGE - AQC0885

Analyse computationnelle d'image [3] de l'œuvre La bémol Mineur [1] - Recherche sur l'Harmonie - Variations 14 (AQC0885) [2] par Arnaud Quercy [2] utilisant la méthode de regroupement k-means avec 10 paramètres d'extraction de couleurs. L'analyse comprend la distribution des couleurs, les métriques de texture, les mesures de luminosité/contraste, et la caractérisation des motifs spatiaux. Analyse effectuée le 2025-12-11.

CONTEXTE

L'analyse effectuée selon MMIDS-CMP-2025 [3] comprend quatre catégories de métriques : (1) Distribution des couleurs via k-means (10 couleurs), (2) Analyse de texture utilisant les caractéristiques de Haralick, (3) Mesures de luminosité et contraste, (4) Caractérisation des motifs spatiaux. Image source [5] : 1968x2952 pixels. Date d'analyse : 2025-12-11.

ANALYSE DES COULEURS

| Rang | Couleur | Hex | % | Famille | Nom |
|------|---------|--------|------|---------------|-------------------------|
| 1 | | D8D4DA | 18.0 | white | lightgray |
| 2 | | 8999B2 | 16.6 | blue-violet | lightslategray |
| 3 | | 707E98 | 15.7 | blue-violet | grayish purple |
| 4 | | A7B5CB | 11.5 | blue-violet | lightsteelblue |
| 5 | | 596277 | 9.8 | blue-violet | grayish purple |
| 6 | | 73C1DE | 8.8 | blue | skyblue |
| 7 | | 665735 | 8.6 | yellow-orange | dark brown |
| 8 | | E3DD31 | 5.0 | yellow | gold |
| 9 | | F2E2AA | 3.2 | yellow | palegoldenrod |
| 10 | | 272118 | 2.7 | yellow-orange | very dark gray |
| 11 | | 97D9E0 | 0.3 | blue-green | skyblue [Accent] |
| 12 | | 91C0AC | 0.3 | green | darkseagreen [Accent] |
| 13 | | 2E2014 | 0.3 | orange | very dark gray [Accent] |

Familles de Couleurs :

| Famille | % |
|---------------|------|
| blue-violet | 53.6 |
| white | 18.0 |
| yellow-orange | 11.3 |
| blue | 8.8 |
| yellow | 8.3 |
| blue-green | 0.3 |
| green | 0.3 |
| orange | 0.3 |

Couleurs d'Accent :

| Hex | Famille | Nom | Chroma |
|--------|------------|----------------|--------|
| 97D9E0 | blue-green | skyblue | 21.5 |
| 91C0AC | green | darkseagreen | 20.6 |
| 2E2014 | orange | very dark gray | 12.1 |

ANALYSE DE TEXTURE

| Métrique | Valeur |
|-------------------------|--------|
| Global Roughness | 0.193 |
| Mean Local Roughness | 0.048 |
| Roughness Uniformity | 0.04 |
| Edge Density | 0.209 |
| Mean Gradient Magnitude | 0.383 |
| Gradient Variance | 0.178 |
| Gradient Smoothness | 0.0 |
| Directional Coherence | 0.008 |
| Pattern Complexity | 0.123 |
| Pattern Repetition | 1.0 |
| Detail Frequency Ratio | 0.655 |
| Spatial Variation | 0.074 |
| Texture Consistency | 0.827 |

ANALYSE DE LUMINOSITÉ ET CONTRASTE

| Métrique | Valeur |
|---------------------------|--------|
| Mean Brightness | 0.609 |
| Brightness Variance | 0.193 |
| Brightness Uniformity | 0.683 |
| Brightness Skewness | -0.36 |
| Brightness Entropy | 7.524 |
| Rms Contrast | 0.193 |
| Michelson Contrast | 1.0 |
| Weber Contrast | 0.585 |
| Mean Local Contrast | 0.052 |
| Contrast Uniformity | 0.202 |
| Dynamic Range | 1.0 |
| Effective Dynamic Range | 0.569 |
| Shadow Percentage | 6.621 |
| Midtone Percentage | 50.851 |
| Highlight Percentage | 42.528 |
| Shadow Clipping | 0.007 |
| Highlight Clipping | 0.01 |
| Tonal Balance | 0.255 |
| Fine Contrast | 0.026 |
| Medium Contrast | 0.064 |
| Coarse Contrast | 0.088 |
| Multiscale Contrast Ratio | 0.295 |
| Edge Contrast | 0.383 |
| Contrast Clustering | 0.173 |

ANALYSE DE DISTRIBUTION SPATIALE

| Métrique | Valeur |
|-----------------------------|--------|
| Spatial Coherence | 0.704 |
| Color Clustering | 0.508 |
| Color Transition Smoothness | 0.035 |
| Transition Uniformity | 0.0 |
| Sharp Transition Ratio | 0.1 |
| Transition Directionality | 0.009 |
| Mean Saturation | 0.282 |
| Saturation Variance | 0.041 |
| Low Saturation Ratio | 0.614 |
| Medium Saturation Ratio | 0.331 |
| High Saturation Ratio | 0.054 |
| Saturation Clustering | 0.998 |
| Hue Concentration | 0.426 |
| Complementary Balance | 0.207 |
| Analogous Dominance | 0.711 |
| Temperature Bias | -0.427 |

Méthodologie

Cette analyse emploie des méthodes computationnelles standardisées pour la caractérisation objective des images. L'extraction des couleurs utilise l'algorithme de regroupement k-means. L'analyse de texture applique l'extraction des caractéristiques de Haralick. Les métriques de luminosité incluent la moyenne, la variance et l'analyse de distribution. Les motifs spatiaux sont caractérisés par des mesures de cohérence et de regroupement. Toutes les méthodes sont déterministes et reproductibles. Analyse effectuée par les systèmes d'imagerie computationnelle de l'Institut Multimodal.

RÉFÉRENCES

- [1] Arnaud Quercy (2025). La bémol Mineur - Recherche sur l'Harmonie - Variations 14 - Catalog raisonné. <https://arnaudquercy.art/en/catalogue-raisonne/AQC0885.html>
- [2] Quercy, A. (2025). Ab Minor - Research on Harmony - Variations 14 - Gallery. https://artquamanima.com/fr/oeuvres/2025/11/la-bemol-mineur-recherche-sur-lharmonie-variations-14_i4x.html
- [3] Quercy, A. (2025). Computational Image Analysis Standard - MMIDS-CMP-2025 <https://multimodal.institute/en/publications/2025/11/mmids-cmp-2025-computational-image-analysis-standard-dg1.html>

OÙ VIT CETTE ŒUVRE

ÉLÉMENTS THÉMATIQUES

cartographie chromesthétique accord La bémol Mineur
 explorations synesthétiques peinture acrylique
 visualisation musicale traduction harmonique
 correspondance colorée art contemporain

PROFIL ÉPISTÉMIQUE

Type de revendication computational analysis
Voix third person
Statut épistémique empirical measurement
Méthodologie computational analysis
Certitude high

SOMME DE CONTRÔLE (SHA-256)

04972b099723afa9a7240fccd42826e0e838bca32f6c2dd29ba20e1ffc6f2ea1

Sous licence Creative Commons Attribution 4.0 International (CC BY 4.0)

Artiste Arnaud Quercy
Date 2025
Certificat 20251123-0071
Asset code AQC0885
Identifiant NAN-COL000073
Version 1
Publié le 2026-02-03

© 2026 Multimodal Institute

Publié par Art Quam Anima Publishing New York,
une marque éditoriale de AQA PUBLISHING LLC
c/o Northwest Registered Agent, 418 Broadway Ste N
Albany, NY 12207, USA
+1 917-764-5470

publishing.artquamanima.com

Dernière mise à jour: 2026-06-03

URI persistante: <https://multimodal.institute/fr/nanopubs/2026/02/AQC0885-computational-image-analysis-aqc0885.pdf>